



## هیدرودینامیک بویه مهارشده با رویکرد بهبود در جذب انرژی موج

مهدی نظری برنجکوب<sup>۱</sup>، محمود غیاشی<sup>۲\*</sup>

۱- دانشجوی دکتری، مهندسی دریا، دانشگاه صنعتی امیرکبیر، تهران

۲- استادیار، مهندسی دریا، دانشگاه صنعتی امیرکبیر، تهران

mghiasi@aut.ac.ir ۰۱۵۸۷۵-۴۴۱۳

### چکیده

در مدل‌های تک-بدنه جاذب نقطه‌ای انرژی موج اقیانوسی، نوسانات یک جسم شناور (بویه) عامل اصلی تولید الکتریسیته است. بهینه‌سازی هندسه بویه راهی برای افزایش راندمان در این مدل‌ها محسوب می‌شود. در تحقیق حاضر فرآیند جذب انرژی موج در مدل جاذب نقطه‌ای، به یک سیستم فنر-میراگر خطی شبیه‌سازی شده است. دو هندسه برای بویه مدل مدل‌سازی شده (بویه مخروطی و بویه کپکروی) در نظر گرفته شده است. بررسی تأثیر هندسه بویه بر دینامیک آن در موج غیرخطی و همچنین مقایسه عملکرد دینامیکی دو بویه بر راندمان مدل انرژی موج انجام شده است. بررسی نحوه یکسان‌سازی شرایط محیطی و مدل‌سازی دو مدل مهارشده مورد بحث قرار گرفته است و یک روش یکسان‌سازی پیشنهاد شده است. انرژی مؤثر موج بر هر مدل براساس مشخصات هندسه بویه آن محاسبه شده است. سپس تحلیل هیدرودینامیک مدل مهارشده به روش المان مزدی و با رعایت حاکمیت استفاده از تئوری تفرق انجام شده است. موج برخوردی به مدل، موج استوکس مرتبه دوم در نظر گرفته شده است.

نتایج در حوزه زمان و فرکانس به دست آمده است و با نتایج پژوهش در دسترس اعتبرانجی شده است. حداکثر پاسخ دینامیکی بویه مهارشده با هندسه کپکروی در هیو و سرج (جهت قائم و افق) به ترتیب حدود ۴.۴% و ۱۱.۳% بیشتر از مدل دیگر است. مدل مدل‌سازی شده با بویه کپکروی نسبت به مدل با بویه مخروطی در جذب انرژی موج موفق‌تر است. متوسط درصد جذب انرژی موج در مدل مدل‌سازی شده با بویه کپکروی در حدود ۲.۲% تا ۲.۵% بیشتر از مدل دیگر است. متوسط درصد جذب انرژی موج توسط دو مدل، بین ۲۰% تا ۲۴% درصد پیش‌بینی شده است.

### اطلاعات مقاله

مقاله پژوهشی کامل

دریافت: ۰۷ اسفند ۱۳۹۵

پذیرش: ۰۷ فروردین ۱۳۹۶

ارائه در سایت: ۰۹ اردیبهشت ۱۳۹۶

کلید واژگان:

مبدل اپسالا

بویه جاذب نقطه‌ای

بویه مخروطی

بویه کپکروی

انرژی موج استوکس

## Hydrodynamics of restrained buoy with an approach to wave energy absorption enhancement

Mehdi Nazari Berenjkoob<sup>1</sup>, Mahmoud Ghiasi<sup>1\*</sup>

۱- Department of Maritime Engineering, Amirkabir University of Technology, Tehran, Iran.  
\* P.O.B. ۰۱۵۸۷۵-۴۴۱۳ Tehran, Iran, mghiasi@aut.ac.ir

### ARTICLE INFORMATION

Original Research Paper  
Received 25 February 2017  
Accepted 27 March 2017  
Available Online 29 April 2017

**Keywords:**  
Uppsala converter  
Point absorber buoy  
Conical buoy  
spherical-cap buoy  
Stokes wave energy

### ABSTRACT

In single-body converters of ocean wave energy, oscillations of a floating body (buoy) serve as the main driving force for electricity generation. Buoy geometry optimization is known as an approach to enhance the efficiency of these converters. In the present research, the process of wave energy absorption in point absorber converter is modeled as a spring-damper system. Two geometries are considered for the buoy of the converter (conical and spherical-cap). The effects of buoy geometry on its dynamics in the nonlinear wave are investigated and comparison of these effects on dynamic performances of the modeled converter is reported. Equalization of environmental conditions and modeling of the two models were discussed, and a new equalization method was proposed. Effective wave energy on each model was calculated based on geometrical characteristics of the corresponding buoy. Then, the models were hydrodynamically analyzed via boundary element method by taking the diffraction theory as the governing theory. The incident wave was assumed to be a second-order Stokes wave.

Results were obtained in both time and frequency domains and validated against the results of available research. Maximum dynamic responses of the restrained buoy with spherical-cap geometry in heave and surge (vertical and horizontal directions, respectively) were found about 4.4% and 11.3% higher than the conical buoy, respectively. The average percentage of absorbed wave energy by the modeled converter with spherical-cap buoy was about 2.2-2.5% higher than that of the other model. The average percentage of absorbed energy by the models was predicted to range within 20-24%.

مناسب‌تر از مناطق پرانرژی‌تر (نایاب‌دارتر) مانند مناطق نزدیک ساحل و کم‌عمق است. در این مناطق انرژی تولیدی از موج منظم‌تر، تعییر و نگهداری و نیز دسترسی به دستگاه مبدل و انرژی تولیدی آسان‌تر است [۱]. مبدل‌های

انرژی امواج قابل‌اعتماد‌تر نسبت به دیگر انرژی‌های تجدیدپذیر است. زیرا چگالی و پراکندگی آن بیشتر است. البته مناطقی با شار انرژی موج متوسط،

### ۱- مقدمه

برای ارجاع به این مقاله از عبارت ذیل استفاده نمایید:

M. Nazari Berenjkoob, M. Ghiasi, Hydrodynamics of restrained buoy with an approach to wave energy absorption enhancement, *Modares Mechanical Engineering*, Vol. 17, No. 5, pp. 129-137, 2017 (in Persian)

است. در این پژوهش‌ها از نسبت توان استحصالی به حداکثر توانی که می‌توان از موج استحصال کرد استفاده شده است.

یکسان‌سازی شرایط محیطی و مشخصات فیزیکی بویه‌ها جهت مقایسه دینامیک آن‌ها در برخورد با موج حائز اهمیت است. در پژوهش‌های یادشده یا شعاع بویه‌ها یا جرم آن‌ها و یا عمق غوطه‌وری آن‌ها یکسان در نظر گرفته نشده است؛ بنابراین نیاز به مطالعه دوباره احساس می‌شود.

نکته قابل توجه آن است که در فرآیند مقایسه میزان انرژی جذب شده توسط بویه‌ها با یکدیگر و نیز مقایسه تأثیر هندسه بویه بر دینامیک آن در امواج باید جرم بویه‌ها یکسان باشد و مقدار انرژی مؤثر موج بر هر بویه در محاسبات لحاظ شود. انرژی مؤثر موج بر هر مدل وابسته به عمق غوطه‌وری بویه ( $h_B$ ) و سطح تلاقی آن با آب ( $A_W^B$ ) است.

در تحقیق حاضر مبدل تک بدنه انرژی موج به یک بویه مهارشده با سیستم فنر- میراگر خطی شبیه‌سازی شده است. دو هندسه برای قسمت مغروفی بویه در نظر گرفته شد. جرم بویه‌ها و شعاع آن‌ها (یا سطح تلاقی بویه‌ها با آب) یکسان است. با توجه به عمق غوطه‌وری هر بویه انرژی مؤثر موج بر هر بویه محاسبه شده است تا درصد انرژی جذب شده از انرژی مؤثر موج مشخص شود.

تفاوت مهم بین پژوهش‌های مشابه یادشده و پژوهش حاضر یکسان‌سازی شرایط محیطی، مدل‌سازی و مشخصات فیزیکی بویه‌ها، جهت مقایسه دینامیک آن‌ها در برخورد با موج است. دو مدل طراحی شده در محیط نرم‌افزار آکوا- انسپیس در برخورد امواج غیرخطی تحلیل هیدرودینامیک شده‌اند. برای کاهش خطا و افزایش دقت نتایج مدل در شرایط آب عمیق و در محدوده حاکمیت تئوری تفرق طراحی و آنالیز شده است.

## 2- مبدل تک بدنه انرژی موج

مطالعات و تحقیقات ابتدایی جهت بررسی مقایسه هیدرودینامیک و سیستم‌های جذب انرژی موج توسط بُدل و فالنس [8] و می [9] انجام شد. آنان پیشنهادهایی در مورد سیستم‌ها و روش‌های مفهومی جذب انرژی موج و تئوری‌های جذب حداکثری انرژی توسط جسم شناور متقاضی و تک بدنه (بویه جاذب نقطه‌ای) مطرح کردند.

در اواخر دهه 1970 بُدل و فالنس بر یک جاذب نقطه‌ای با حرکت کنترل شده در نروژ کار کردند، سپس فالنس و لیلبکن بررسی‌هایی بر طرح بُدل در سال 2003 انجام دادند. آن‌ها براساس طرح بُدل به بررسی استحصال انرژی موج به روش ستون نوسانگر آب درون یک جسم شناور با سه هندسه مختلف، پرداخته‌اند [10].

تمرکز بر مبدل تک بدنه با سیستم ژنراتور خطی و براساس طرح بُدل در دانشگاه اوپسالا سوئد بیشتر صورت گرفته است. این پروژه از سال 2001 شروع شده است و در حال تکمیل و توسعه قسمت‌های مختلف آن از جمله ژنراتور خطی و هندسه بویه است [10]. در مبدل تک بدنه اوپسالا یک سیستم ژنراتور خطی، تبدیل انرژی استحصالی از موج (توسط بویه) را انجام می‌دهد (شکل ۱) [11]. در این روش بویه جاذب انرژی موج با یک مهار کالبی به سیستم الکترومغناطیسی (داخل بدنه مستقر بر کف دریا) متصل است. این سیستم شامل آهن‌ربای ثابت، آهن‌ربای متصل به بویه و یک دور پیچ سیمی است. با تغییر قطبیت مغناطیسی در اثر حرکت آهن‌ربای متصل به بویه نوسانی، الکتریسیته تولید می‌شود [11,2]. این فرآیند به صورت طرح‌واره در شکل ۱ که اصول کارکردی دستگاه اوپسالا نیز نمایش داده شده است [11].

انرژی موج برای تبدیل انرژی امواج به انرژی الکتریسیته استفاده می‌شوند. مبدل‌ها انواع مختلفی مثل جاذب نقطه‌ای، ستون نوسانگر، تعییف‌کننده و غیره دارند که انتخاب درست آن‌ها باید براساس ویژگی منطقه‌ای و زیست‌محیطی صورت گیرد [1]. تاکنون طیف گسترده‌ای از فناوری‌های استحصال و تبدیل انرژی موج به الکتریسیته ارائه شده است. امروزه دو روش برای تبدیل انرژی استحصالی از موج متعارف یک روش استفاده از ژنراتور خطی و روش دیگر استفاده از مدار تحت‌فشار هیدرولیک است. در روش نخست یک سیستم الکترومغناطیسی فرآیند تبدیل انرژی استحصالی از موج را به انرژی الکتریسیته انجام می‌دهد. این سیستم در مبدل تک بدنه اوپسالا و L10 کاربرد دارد [2]. در روش دوم انرژی موج تبدیل به یک فشار هیدرولیک می‌شود و این فشار هیدرولیک ژنراتور را فعال می‌کند. سیستم مدار تحت فشار هیدرولیک در مبدل‌های دوبدنی جاذب نقطه‌ای مانند مبدل آکابوی، ویوباب و OPT<sup>1</sup> استفاده می‌شود [3,2].

مبدل‌های جاذب نقطه‌ای یا تک بدنه و یا دوبدنی است. در مبدل‌های دوبدنی انرژی استحصالی از موج حاصل جابه‌جاکی نسبی بین بویه و بدنه دستگاه در جهت قائم (نوسان هیو بویه) است. در این نوع مبدل‌ها از سیستم مدار تحت‌فشار هیدرولیک استفاده می‌شود و بویه و بدنه دستگاه مبدل هر دو شناور است [3]. در مبدل‌های تکبدنه که بویه آن‌ها شناور و بدنه بر ستر دریا ثابت شده انرژی استحصالی از موج فقط وابسته به نوسان بویه در موج است [2].

پژوهش‌های زیادی در زمینه دینامیک بویه جاذب انرژی موج در امواج منظم و نامنظم انجام شده است، بهطور خاص مقایسه دینامیک اشکالی از هندسه بویه در موج منظم برای آنالیز یک مبدل دوبدنی مهارشده توسط الیز و همکارانش مطالعه شده است. در پژوهش آن‌ها از سه هندسه برای بویه، شامل استوانه عمودی، مخروط و نیم‌کره استفاده شده که جرم و سطح تلاقی آن‌ها با آب متفاوت است [4].

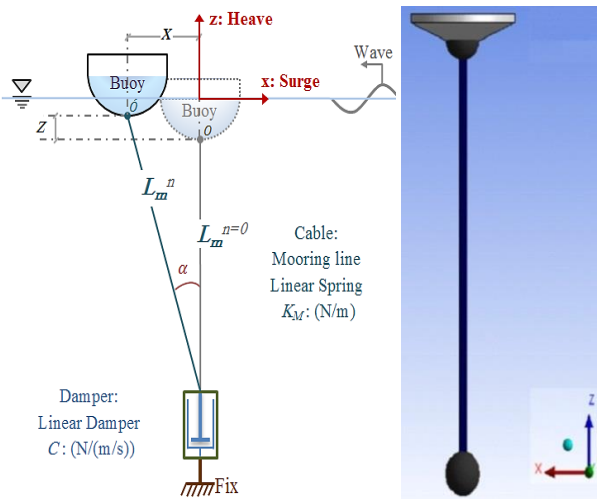
در پژوهشی دیگر مقایسه فشار حاصل از موج بر سه هندسه بویه به کمک یک کد تجاری المان محدود شامل مخروط، کره و استوانه افقی با شعاع برابر ولی جرم متفاوت، توسط بیرون بررسی شده است [5]. در دو پژوهش عددی یادشده جرم بویه‌ها و یا سطح تلاقی آن‌ها با آب یکسان نیست. در فرآیند مقایسه عملکرد بویه‌ها در جذب انرژی موج نفاوت موجود در انرژی مؤثر موج بر هر بویه در محاسبات لحاظ نشده است.

شبیه‌سازی عددی اندرکنش بین موج و جسم شناور و نیز مقایسه نیروی کوبش بویه‌هایی که از آب خارج شده‌اند توسط دی‌بکر و همکارانش انجام شده است. تمرکز پژوهش آن‌ها بر سه شکل هندسی بویه کروی و بویه مخروطی با زاویه 45 و 30 بوده است. آن‌ها به کمک شبیه‌سازی مبدل توسط نرم‌افزار ویمت، پیش‌بینی کردند که بویه مخروطی 45 درجه در جذب انرژی بهتر و در میزان کویش نوع هندسه سپیار مؤثر است [6].

در پژوهشی دیگر دینامیک دو هندسه بویه (مخروط و نیم‌کره) در موج نامنظم توسط پاستور و لیبو بررسی شده است. آن‌ها از نرم‌افزار آکوا- انسپیس استفاده و پیش‌بینی کردند که ایجاد همخوانی (تناسب) بین طول موج و قطر بویه سبب افزایش دامنه حرکت هیو بویه می‌شود، همچنین اثرات منفی حرکت پیچ (یا رول) را کاهش می‌دهد [7].

در دو پژوهش عددی یادشده (پاستور و همکار، دی‌بکر و همکاران) جرم بویه‌ها متفاوت بوده و مقدار انرژی مؤثر موج بر هر بویه در نظر گرفته نشده

<sup>1</sup> Aquabuoy, Wavebob and OPT (Ocean Power Technologies) Wave Energy Converter (WEC)



شکل 2 شبیه‌سازی سیستم مبدل جاذب نقطه‌ای در جذب انرژی موج (چپ) و مدل‌سازی آن در آکوا (راست) و جهات حرکت بویه مهارشده

بستر دریا ثابت شده و نیروی جذب شده از موج برابر با نیروی درون فنر-میراگر در هر بازه زمانی است. نیرو و انرژی استحصالی از موج به صورت روابط (3,2) تعریف شده است که به ترتیب با اندیس  $F_A$  و  $E_A$  مشخص است. در این رابطه  $K_M$  سختی خطی کابل مهار (سختی فنر خطی)،  $C$  ضریب میرایی (جایگزین میراگر)،  $\Delta L_M^n$  تغییر طول کابل مهار و  $\dot{Z}_B^n$  سرعت متوسط بویه در هر بازه زمانی در امتداد هیو است. اندیس  $n$  شمارنده زمانی است. به طوری که در لحظه صفر ( $t=0$ ) مقدار  $n$  برابر با صفر است.

$$F_A^n = F_M^n + F_D^n = K_M^n \Delta L_M^n + C \dot{Z}_B^n \quad (2)$$

$$E_A^n = E_D^n + E_M^n = \int_{t_{n-1}}^{t_n} C (\dot{Z}_B^n)^2 dt + \int_{l_{n-1}}^{l_n} K_M L_M dl \quad (3)$$

#### 4-فرضیات

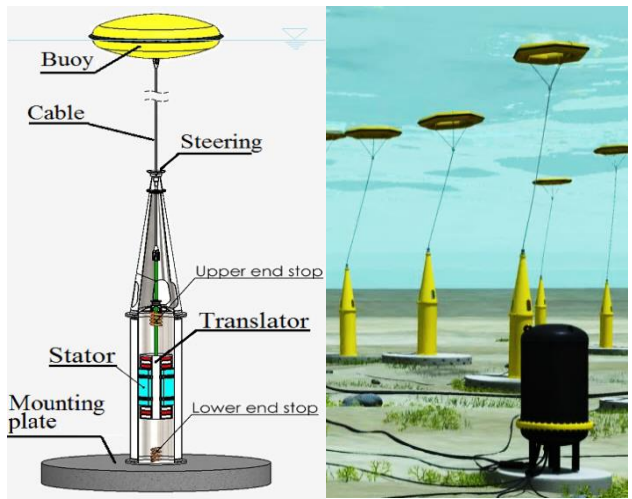
بویه در این مدل‌سازی با یک تک کابل به بستر دریا به‌طور محکم مهار شده است. نیروی کشش اولیه در کابل مهاری در اثر نیرو بویانسی منفی بویه اعمال شده و کابل مهار الاستیک بین بستر دریا و مرکز ثقل بویه کشیده شده است. میزان کشیدگی کابل (تغییر طول کابل) بسته به سختی کابل و نیروی بویانسی منفی بویه دارد. باید به این نکته اشاره کرد که از وزن کابل و اثرات تغییرات آهسته سطح آب (جزر و مد)، جریانات دریایی و دیگر شرایط محیطی بر مدل صرف‌نظر شده است. بستر دریا صاف، بدون شیب و با ژرفای 50 متر فرض شده است. امواج برخوردی، منظم-یکجهت است و بررسی دامنه حرکت بویه در هیو و سرچ موردنظر است. برای ایجاد کشش اولیه در کابل مهاری جرم هر بویه به صورت رابطه (4) تعریف شده است.

$$m_B = \gamma_B \rho - \frac{F_M^{n=0}}{g}, \quad \rho: \frac{\text{kg}}{\text{m}^3}, \quad g: \frac{\text{m}}{\text{s}^2} \quad (4)$$

در رابطه بالا پارامتر  $\gamma_B$  حجم غوطه‌وری هر یک از بویه‌ها بر حسب متربکعب است. چگالی آب و شتاب ثقل به ترتیب با  $\rho$  و  $g$  مشخص شده و برابر با 1025 و 9.806 است. پارامتر  $F_M^{n=0}$  معروف نیروی کشش اولیه در کابل مهار که برابر با 100 کیلو نیوتون فرض شده است.

#### 5-هندسه و ابعاد بویه‌های جاذب انرژی موج

طراحی سازه‌های شناور دریایی مانند سکوهای استخراج نفت باهدف کاهش



شکل 1 نمایی از مبدل جاذب نقطه‌ای اوپسالا و اجزای اصلی آن [11]

### 3-مدل‌سازی عملکرد مبدل تک بدن در جذب انرژی موج

جهت محاسبه میزان انرژی استحصالی از موج در مبدل تک‌بدنه جاذب نقطه‌ای مدل‌سازی‌های متفاوتی مطرح است. مدل سیستم ترکیبی فنر-میراگر، سیستم فنر خطی و یا سیستم میراگر خطی سه روش متداوول است [12,10,3]. در این مدل‌سازی‌ها بویه و بدن مبدل با یکی از این سیستم‌ها به هم کوبی می‌شوند. سیستم عملکرد مبدل جاذب نقطه‌ای اوپسالا در فرآیند جذب انرژی موج (شکل 1) را می‌توان به صورت یک سیستم فنر خطی و یک میراگر خطی شبیه‌سازی کرد (شکل 2). در واقع با این شبیه‌سازی سیستم فنر-میراگر جایگزین سیستم مدار تبدیل انرژی در مبدل جاذب نقطه‌ای اوپسالا می‌شود [10]. در نتیجه نیروی جذب شده از موج برابر با نیروی ذخیره‌شده در سیستم فنر-میراگر خواهد بود. هدف از پژوهش حاضر یکسازی شرایط محیطی و مدل‌سازی برای دو بویه مهار شده و مقایسه عملکرد دینامیکی آن‌ها در موج منظم غیرخطی است؛ بنابراین می‌توان از هر یک از سه سیستم یادشده نیز استفاده کرد.

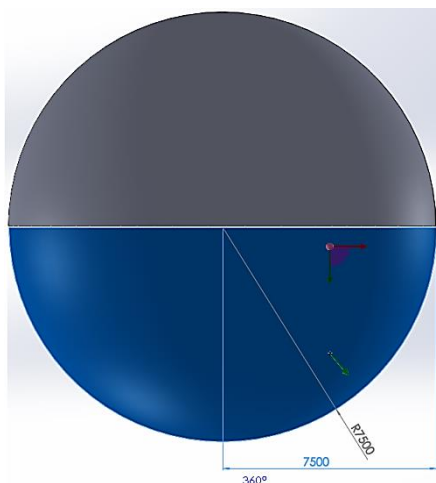
در تحقیق حاضر برای محاسبه میزان انرژی استحصالی از موج از سیستم ترکیبی فنر-میراگر خطی استفاده شده است (چپ شکل 2). این سیستم در آکوا به یک مهار با سختی خطی مشخص (کابل مهار الاستیک) و یک ضریب میرایی ثابت در جهت Z-Z شبیه‌سازی شده است (راست شکل 2).

کابل مهاری یک خط الاستیک است که سبب حفظ موقعیت بویه می‌شود. مقادیر سختی مهار و ضریب میرایی قابل تغییر است. در مجموع سیستم مدل‌سازی شده شامل سه بخش بویه جاذب انرژی (با دو هندسه متفاوت)، کابل مهار و میراگر است.

طول کابل پس از تعادل بین نیروی جرم و بویانسی بویه در حالت آب ساکن برابر با پارامتر ( $L_M^{n=0}$ ) است. با برخورد موج به بویه تغییراتی در موقعیت بویه حاصل می‌شود، این جابه‌جایی‌ها در جهت افق و قائم با پارامتر  $x$  و  $z$  (نوسان سرچ و هیو بویه) در شکل 2 نشان داده شده است. پارامتر  $L_M^n$  طول کابل در لحظه  $n$  است که به صورت رابطه (1) تعریف می‌شود.

$$L_M^n = L_M^{n-1} + \Delta L_M^n, \quad n=1,2,\dots, \quad n=0: t=0 \\ \Delta L_M^n = \sqrt{x_n^2 + (z_n + L_M^{n-1})^2} - L_M^{n-1} \quad (1)$$

در مدل‌سازی شکل 2 بویه در معرض مستقیم با برخورد موج است و نیروی اعمالی موج به آن سبب عکس العمل در کابل مهار می‌شود. مهار به



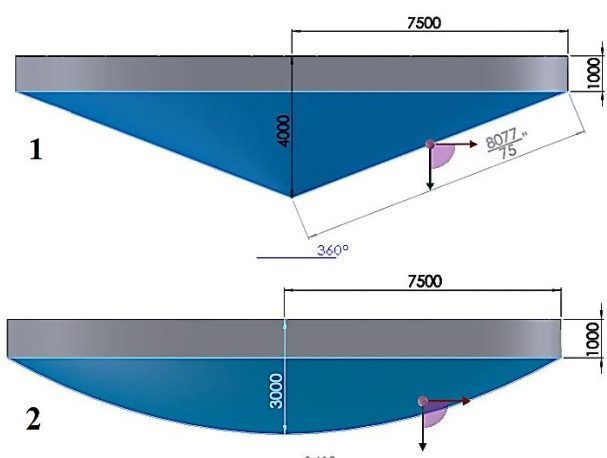
**Fig. 3** Geometry of moored buoy in numerical research of Vicente for validation

شکل 3 هندسه بویه مهارشده در پژوهش عددی ویسنته برای اعتبار سنجی

**جدول 1** مشخصات دو بویه با شعاع و جرم یکسان و نیز بویه استفاده شده در پژوهش  
ویسنته و همکارانش [10]

**Table 1** Specifications of buoys with the same weight and radius and also the buoy is used in research of Vicente [10]

همدسه بویه (متر)	شعاع (متر)	重心 بویانسی (متر)	حجم غوطه‌وری (متر <sup>3</sup> )	هر دو بویه
3.000	170.9345	7.500	176.7145	بویه مخروط
2.000	170.9345	7.500	176.7145	بویه کپکروی
7.500	803.6214	7.500	883.5729	بویه ویسنته
-1.75	-0.75			مخروط
-1.662	-0.662			کپکروی
-3.800	-2.800			بویه ویسنته



**Fig. 4** هندسه بویه مخروطی و بویه کپکروی با شعاع و وزن یکسان

شکل 4 هندسه بویه مخروطی و بویه کپکروی با شعاع و وزن یکسان

محاسبه نیروی اعمالی موج به جسم شناور و آنالیز دینامیک جسم در امواج یکی از مسائل مهم در هیدرودینامیک است. روش‌های متعددی جهت محاسبه این نیروها مطرح است. یکی از این روش‌ها حل مسئله اندرکنش موج و جسم بر پایه تئوری تفرق و به روش المان مرزی است. در این زمینه کارهای بسیاری صورت گرفته است. می‌توان به پژوهش‌های سال‌های اخیر

نوسانات سازه است، در حالی که برای طراحی یک بویه جاذب انرژی موج باید عکس آن عمل کرد و هندسه بویه طوری تعیین شود تا بیشترین دامنه حرکت در اثر برخورد موج حاصل گردد.

برای مقایسه عملکرد هیدرودینامیک بویه‌ها با یکدیگر و میزان انرژی جذب شده توسط بویه‌ها باید جرم بویه‌ها باشد، همچنین انرژی مؤثر موج بر هر یک از بویه‌ها در آنالیز نتایج مورد نظر باشد. در تحقیق حاضر دو هندسه برای قسمت غوطه‌وری بویه استوانه‌ای در نظر گرفته شده است. این دو بویه دارای حجم غوطه‌وری و شعاع یکسان هستند. بدین ترتیب جرم بویه‌ها و سطح تلاقی آن‌ها با آب یکسان خواهد بود. برابری شعاع و حجم غوطه‌وری بویه‌ها سبب تفاوت در عمق غوطه‌وری آن‌ها شده است؛ بنابراین انرژی موج برخوردی برای هر دو عمق غوطه‌وری متفاوت محاسبه شده است تا درصد جذب انرژی توسط هر مدل قابل محاسبه باشد.

[پژوهش عددی ویسنته و همکارانش [10]] جهت اعتبارسنجی نتایج مورد بررسی قرار گرفته است. در این پژوهش دینامیک یک عدد بویه مهارشده با هندسه کره در موج منظم و نامنظم به کمک نرم‌افزار ویبت بررسی شده است. مشخصات این بویه و نیز دو بویه با هندسه مخروطی و کپکروی (نیم‌کره ناقص) در جدول 1 و شکل‌های 3 و 4 مشخص شده است.

تحلیل هیدرودینامیک مدل‌ها در محیط نرم‌افزار آکوا-انسیس انجام شده است. این نرم‌افزار یک مجموعه ابزار قدرتمند و انعطاف‌پذیر برای آنالیز مهار و تحلیل هیدرودینامیک اجسام در محیط دریایی است که بر مبنای تئوری تفرق کدنویسی شده است [7]. نسبت قطر بویه‌ها به طول موج همواره بزرگ‌تر از 0.2 انتخاب شده است ( $D_B/\lambda \geq 0.2$ ) تا خطا محاسباتی دروند استفاده از تئوری تفرق در محاسبات کاهش یابد.

طراحی هندسه مدل نقطه آغاز به کار با این نرم‌افزار است که در محیط سالیدور<sup>1</sup> انجام شده و به محیط نرم‌افزار انتقال یافته است؛ سپس پارامترهای اصلی برای تعریف محیط دریایی مانند عمق آب، ابعاد محیط محاسباتی و دانسیته سیال مشخص شده است. پس از آن مشخصه‌های مدل مانند مرکز جرم، مقدار جرم جسم، مشخصات نقطه اتصال کابل‌هاری به جسم شناور و بستر دریا، طول اولیه کابل‌هاری، ضرایب ثابت هیدرودینامیکی و... مشخص شده است.

از آنجایی که در مژول آکوا در نرم‌افزار انسیس نیرو و ضرایب هیدرودینامیک (جرم اضافه، میرایی و...) براساس فرکانس امواج برخوردی و بر مبنای تئوری تفرق محاسبه می‌شود [7]؛ بنابراین نخست فرکانس‌های امواج و جهت حرکت آن‌ها مشخص شده است. این فرکانس‌ها باید با فرکانس امواج برخوردی که در قسمت بعدی نرم‌افزار تعریف می‌شود یکی باشد. پارامترهای دیگر که به عنوان اطلاعات اولیه- ورودی به نرم‌افزار داده می‌شود عبارت از مقدار شتاب ثقل، نوع امواج برخوردی و مشخصه‌های آنالیز، دامنه حوزه زمان، گزینه‌های پاسخ ویله زمانی و نوع دینامیک کابل هاری است.

خروجی نرم‌افزار براساس خواسته مسئله می‌تواند شامل مقادیر نیروهای هیدرودینامیک، نیروی وارد و برجسم و نیروی داخلی کابل در طول زمان اجرا باشد، همچنین در خروجی برنامه؛ تاریخچه زمانی حرکت جسم، مقادیر شتاب، سرعت و جایه‌جایی جسم در جهات مختلف مشخص است.

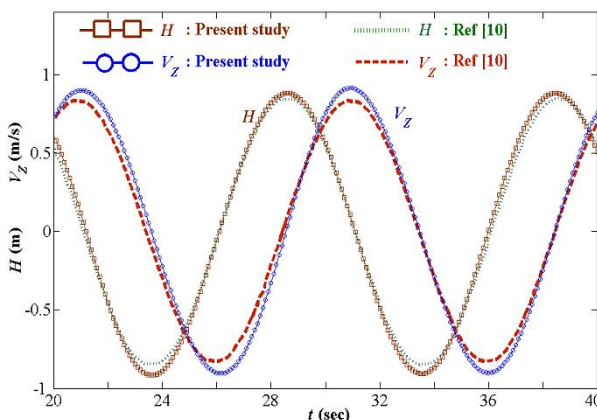
## 6- دینامیک مدل

<sup>1</sup> SOLIDWORKS

ضریب میرایی ( $C$ ) به ترتیب برابر با  $180 \text{ kN/m}$  و  $250 \text{ kN/(m/s)}$  در نظر گرفته شده است. نخست یک بویه مهارشده با مشخصات مندرج در جدول ۱ و شکل ۳ (مطابق با مدل ویسنتم) مدل‌سازی شد. مشخصات موج برخورده است. شرایط محیطی و فرضیات نیز مشابه این پژوهش در نظر گرفته شده است. شکل ۶ بیانگر نتایج حاصل از تحلیل حاضر با نتایج پژوهش عددی ویسنتم و همکارانش است. براساس گراف‌های این شکل حداکثر دامنه حرکت هوی برای بویه مهارشده در پژوهش ویسنتم  $0.8409 \text{ متر}$  و در تحقیق حاضر  $0.8819 \text{ متر}$  است. حداکثر سرعت هوی بویه نیز به ترتیب  $0.8323 / 0.9149$  است. اختلاف نتایج در حداکثر دامنه حرکت هوی بویه برابر با  $4.10 \text{ سانتی متر}$  ( $4.87\%$  خطأ) است. حداکثر دامنه پاسخ هوی برابر با  $0.082 \text{ متر بر ثانیه}$  ( $9.85\%$  خطأ) است. نسبت پاسخ هوی بویه کروی به دامنه موج برخورده (عملگر دامنه پاسخ هوی) در پژوهش ویسنتم و پژوهش حاضر در شکل ۷ در حوزه فرکانس نشان داده شده است.

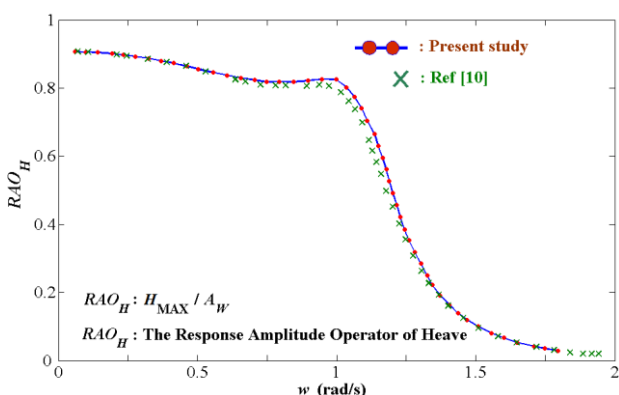
#### 8- دینامیک بویه مهارشده (در حوزه زمان)

با توجه به تغییرات فشار موج در عمق آب سعی شده است که عمق غوطه‌وری بویه‌ها در یک محدوده باشد؛ بنابراین به جای بویه کروی از یک



**Fig. 6** A comparison between heave responses ( $H$ ) and respective speeds ( $V_z$ ) of moored buoy in the present research and those of the research by vicente et al. [10]. Regular wave of  $A_W = 1 \text{ m}$ ,  $T_W = 10 \text{ s}$  and  $C = 250 \text{ kN/(m/s)}$ ,  $K_M = 180 \text{ kN/m}$

شکل ۶ مقایسه بین دامنه حرکت و سرعت هوی بویه کروی مهارشده در پژوهش ویسنتم و همکارانش [10] و پژوهش حاضر. دامنه موج برخورده یک متر، زمان تناوب  $10 \text{ ثانیه}$ ، سختی کلیل مهاری  $180 \text{ kN/m}$  و ضریب میرایی  $250 \text{ kN/(m/s)}$



**Fig. 7** Response Amplitude Operator ( $RAO$ ) in heave for two identical buoys in the present research and those of the research by vicente et al. [10]. In the frequency domain

شکل ۷ عملگر دامنه پاسخ هوی برای بویه مهارشده با هندسه کره در پژوهش ویسنتم و همکارانش [10] و پژوهش حاضر در حوزه فرکانس

ولیام فینگن و همکارانش [13]، عیاس‌نیا و غیاثی [14] و رافائل و همکارانش [15] اشاره کرد.

دینامیک اجسام شناور با سیستم مهار برای کشتی و سکوهای فراساحلی به صورت تئوریک و به طور گسترده‌ای مطالعه شده است. در سال‌های اخیر برای مبدل‌های انرژی موج فراساحلی نیز مطالعات صورت گرفته است که می‌توان به پژوهش‌های جوهانینگ و همکارانش [16]، آنتونیو فالکائو و همکارانش [17]، ماسکیمیلیان و همکارانش [18] و تگهداری و برسی اثرات [12] اشاره کرد. آن‌ها در زمینه آنالیز دینامیکی سیستم مهار و بررسی اثرات آن بر دینامیک و راندمان مبدل انرژی موج مطالعه کرده‌اند. به طور کلی می‌توان حرکت دینامیکی جسم شناور را با معادلات حرکت (5) توصیف کرد.

$$m a = F, \quad I_g a_\Omega + \Omega \times (I_g \Omega) = M \quad (5)$$

در اینجا  $F$  و  $M$  به ترتیب بردار نیرو و ممان کلی اعمال شده به جسم که جرم جسم و تانسور اینرسی ممان در مرکز ثقل با  $m$  و  $I_g$  تعریف شده است. پارامتر  $a$  بردار شتاب برای حرکت انتقالی و پارامترهای  $a_\Omega$  و  $\Omega$  بردار شتاب و سرعت زاویه‌ای است. معادله حرکت جسم شناور مهار شده مطابق با مدل‌سازی شکل ۲ در جهت  $z$  را می‌توان به شکل رابطه (6) نوشت [7].

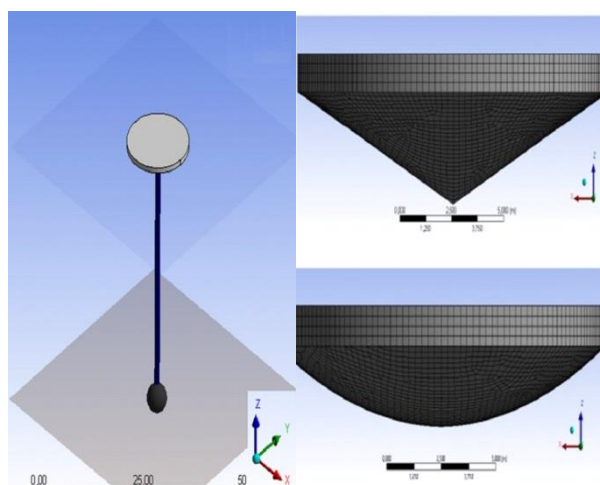
$$(m + m_a(\omega)) \frac{d^2 Z(t)}{dt^2} + (C_{hyd}(\omega) + C) \frac{dZ(t)}{dt} + (k_{hys} + k_M) Z(t) = F_{ex}(\omega, t) \quad (6)$$

در اینجا نیروهای تحریک خارجی با  $F_{ex}$  تعریف شده است. ضریب میرایی هیدرودینامیک، ضریب بازگردان هیدرو استاتیک، سختی کابل مهار و جرم اضافه هیدرودینامیک جسم شناور به ترتیب با پارامترهای  $C_{hyd}$ ،  $k_M$  و  $k_{hys}$  مشخص شده که وابسته به فرکانس موج ( $\omega$ ) است. این پارامترهای هیدرودینامیک از طریق استفاده از روش المان مربزی و با رعایت حاکمیت تئوری تفرق با استفاده از آکوا محاسبه شده است. مقدار  $k_{hys}$  به مساحت  $.(k_{hys} = \rho g A_W^B)$  مقطع بویه که سطح آب را قطع می‌کند، وابسته است.

شکل ۵ نمایی از مدل‌سازی را در آکوا نشان می‌دهد.

#### 7- اعتبارسنجی

جهت اعتبارسنجی از پژوهش عددی ویسنتم و همکارانش [10] استفاده شد. آن‌ها دینامیک یک بویه مهارشده با هندسه کره با شعاع  $7.5 \text{ m}$  را در موج منظم و نامنظم تحلیل کرده‌اند. در پژوهش آن‌ها مقادیر سختی مهار ( $k_M$ ) و



**Fig. 5** Modeling of moored buoy with different geometries within AQWA.

شکل ۵ مدل‌سازی بویه مهارشده با دو هندسه مختلف در آکوا-انسیس

0.7422 است. متوسط تغییر طول کابل ( $\Delta L_M^n$ ) برای مدل مهارشده با بویه مخروطی و با کپ کروی شکل بحسب متر به ترتیب برابر با 0.8269 و 0.8486 است.

نتایج حاصل از تحلیل هیدرودینامیک دو مدل مهارشده در حوزه زمان نشان می‌دهد که حداکثر پاسخ دینامیکی بویه مهارشده با هندسه کپ کروی در جهت  $z$  و  $x$  (هیو و سرج) به ترتیب حدود 4.4% و 11.3% بیشتر از مدل دیگر است. سرعت هیو این مدل نیز حدود 1.6% بیشتر است. مقادیر حداکثر دامنه حرکت بویه‌ها در جهت  $z$  و  $x$  (هیو و سرج) و نیز حداکثر سرعت هیو بویه‌ها و حداکثر تغییر طول کابل مهاری در جدول 2 بیان شده است.

## 9- انرژی موج

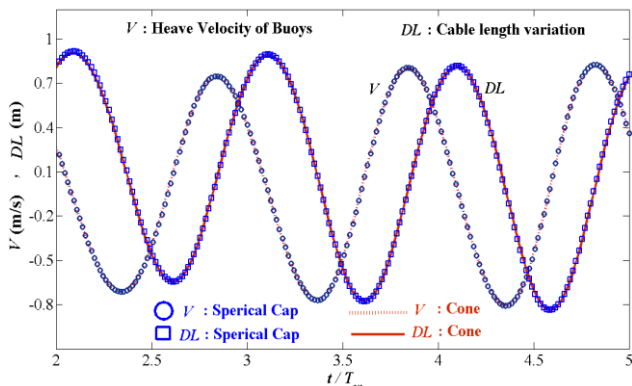
امواج آب، نمادی از نیروهای اعمالی (عدمتای باد) به سیال است که تمایل به جابه‌جایی و تغییر شکل سطح سیال را دارد. حرکت امواج در سطح آب بر لایه‌های زیر سطح اثر گذاشته و موجب نوسان آن می‌شود. با توجه به شدت نیروی اعمالی به آب، امواج در اندازه‌ها و اشکال مختلف تولید می‌شود [19]. به دلیل تغییر جهت و سرعت وزش باد و قابلیت تغییر جهت انتشار موج، امواج در عمل نامنظم و غیرقابل پیش‌بینی هستند. به هر حال نظریه‌های گوناگونی برای الگوسازی امواج دریا ارائه شده که متداوول ترین آن‌ها نظریه ایری، استوکس و نوئیدال است [20]. محدوده اعتبار هر یک از این نظریه‌ها بسته به عمق آب ( $h$ ), ارتفاع و پریود موج ( $T_w$ ,  $H_w$ ) است که با دو معیار تعیین می‌شود [21].

در این تحقیق عمق آب 50m، دامنه امواج 1m و زمان تناوب 6.5s فرض شده است. معیار عمق آب ( $h/(gT_w^2)$  و شیب موج ( $H_w/(gT_w^2)$  به ترتیب 0.120 و 0.00483 است که براساس گراف اعتبار تئوری امواج<sup>2</sup> [21].

**جدول 2** حداکثر دامنه حرکت بویه‌ها در هیو و سرج، حداکثر سرعت هیو بویه‌ها و حداکثر دامنه تغییر طول کابل مهاری

**Table 2** The maximum amount for heave and surge motion domain, heave speeds and cable length variation for two models

داده‌ها	حداکثر دامنه هیو	حداکثر سرعت سرج (متر)	حداکثر تغییر طول کابل	هندسه بویه
0.8189	2.4219	0.8127	0.8352	مخروط
0.8547	2.6954	0.8260	0.8769	کپ کروی



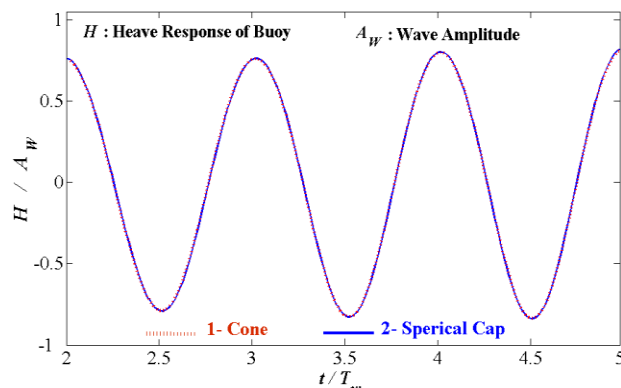
**شکل 10** تغییر طول کابل مهار و سرعت هیو برای مدل مهارشده با بویه مخروطی و کپ کروی

<sup>2</sup> Validity of wave theories graph (Le Mehaute, 1969)

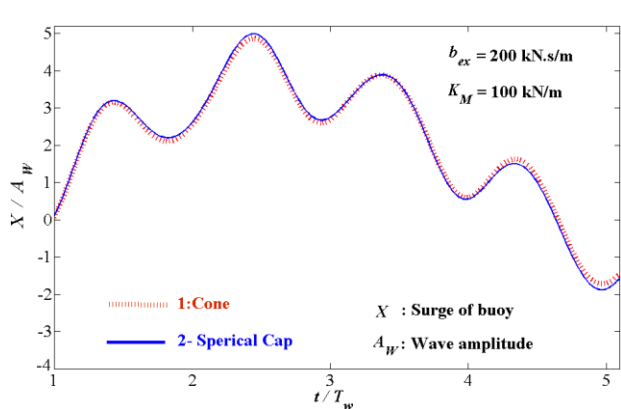
بویه کپ کروی (نیم کره ناقص) استفاده شده است. در این صورت اختلاف عمق غوطه‌وری دو بویه حدود یک متر است. این تفاوت در عمق غوطه‌وری بویه‌ها نیز در محاسبه انرژی مؤثر موج برخورده بر هر بویه لحظه شده است. نتایج عددی مرتبط با پاسخ دینامیکی دو مدل مهارشده با بویه مخروطی و با بویه کپ کروی به موج منظم غیرخطی (استوکس مرتبه دوم)<sup>1</sup> در جهت  $z$  و  $x$  (هیو و سرج) در شکل‌های 8 و 9 ترسیم شده است. دامنه موج برخورده یک متر و زمان تناوب آن 6.5 ثانیه فرض شده است. نیروی کشش اولیه در کابل 100 kN, مقدار ضریب میرایی  $C=200 \text{ kN.s/m}$  و ضریب سختی کابل  $K_M=100 \text{ kN/m}$  در نظر گرفته شده است.

متوسط دامنه حرکت بویه مهارشده شماره یک و دو در جهت  $z$  (هیو) به ترتیب برابر با 0.7637 و 0.7685 متر، در جهت  $x$  (سرج) به ترتیب برابر با 1.4483 و 1.4325 متر است.

براساس رابطه (3) برای محاسبه انرژی استحصالی از موج نیاز به محاسبه سرعت هیو و نیز تغییر طول کابل مهاری در هر بازه زمانی است. این مقادیر برای دو مدل مهارشده با بویه مخروطی و با بویه کپ کروی در شکل 10 ترسیم شده است. نتایج نشان می‌دهد که متوسط سرعت بویه شماره یک و دو در جهت هیو ( $\bar{Z}_B^n$ ) بر حسب متر بر ثانیه به ترتیب برابر با 0.7396 و 0.70396 است.



**شکل 8** نسبت پاسخ هیو دو بویه به موج منظم برخورده با دامنه یک متر و پریود 200 kN/(m/s), ضریب میرایی 100, سختی کابل 100 kN/m



**شکل 9** نسبت پاسخ سرج دو بویه مهارشده به دامنه موج منظم برخورده با دامنه یک متر و زمان تناوب 6.5 ثانیه

<sup>1</sup> Second-order Stokes wave

0.8612m در موج با فرکانس زاویه‌ای 1.05 rad/s رخ داده است. مقادیر دامنه حرکت سرج و سرعت هیو بویه (متناظر بازمان رخ داد حداکثر دامنه حرکت هیو در هر کدام از بویه‌های مهارشده)، برای محاسبه انرژی استحصالی از موج در حوزه فرکانس به دست آمده است. به طوری که در محدوده زمانی که حداکثر دامنه حرکت برای هر بویه در هیو رخ داده است مقادیر دامنه حرکت سرج و نیز مقادیر سرعت هیو از بین نتایج حاصله استخراج شد. در واقع در لحظه‌ای که بیشترین جابه‌جایی هیو در بویه‌ها اتفاق افتاده مقادیر انرژی استحصالی از موج محاسبه شده است.

جدول 3 انرژی مؤثر موج، متوسط و حداکثر انرژی استحصالی از آن (حوزه زمان)  
Table 3 Effective energy of wave on buoys, the average and maximum of absorbed energy from it (the time domain)

هنگسه بویه	هر بویه (ژول)	انرژی مؤثر موج بر جذب شده (ژول)	متوسط انرژی درصد جذب شده
مخروط	638380	143589.81	22.49%
کپ کروی	585770	146178.27	24.95%
هنگسه بویه	انرژی مؤثر موج بر جذب شده (ژول) بویه (ژول)	حداکثر انرژی جذب شده	درصد حداکثر
مخروط	638380	166974.21	26.15%
کپکروی	585770	174908/88	29.86%

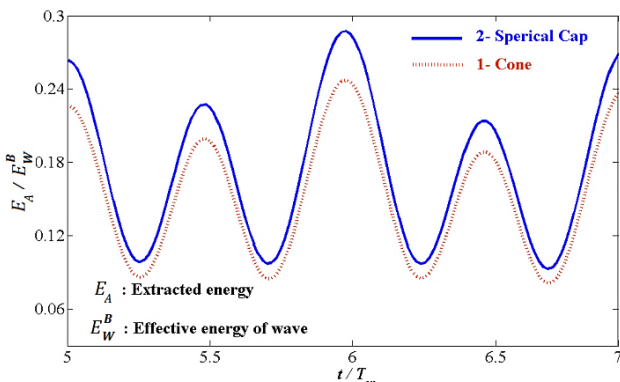


Fig. 11 The ratio of absorbed energy to the effective energy of wave on each moored buoy,  $E_A/E_w^B$  (In the time domain)

شکل 11 نسبت انرژی جذب شده از موج ( $E_A$ ) به انرژی مؤثر موج بر هر بویه ( $E_w^B$ ) (در حوزه زمان)

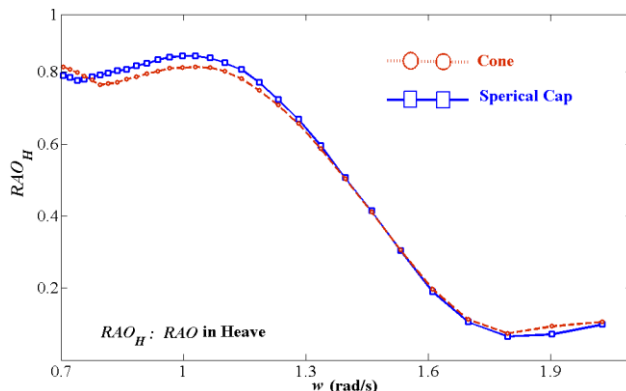


Fig. 12 Response Amplitude Operator (RAO) in heave for moored model with cone and special-cap buoy

شکل 12 عملگر پاسخ هیو برای بویه مهارشده با هندسه غوطه‌وری مخروط و کپ کروی

موج فرض شده در محدوده امواج استوکس مرتبه دوم قرار دارد. پروفیل موج استوکس مرتبه دوم ( $\eta$ ) وتابع پتانسیل آن ( $\phi$ ) به صورت روابط (8,7) تعریف می‌شود [20].

$$\eta = A_w \cos(kx - \omega t) + \frac{A_w^2 k}{4} \frac{\cosh(kh)}{\sinh^3(kh)} \quad (7)$$

$$\phi = \frac{A_w g \cosh k(h+z)}{\omega \cosh(kh)} \sin(kx - \omega t) - \frac{3\omega A_w^2}{8} \frac{\cosh 2k(h+z)}{\sinh^4(kh)} \sin 2(kx - \omega t) \quad (8)$$

انرژی موج ( $E_w$ ) متشکل از انرژی پتانسیل موج ( $E_p$ ) و انرژی جنبشی موج ( $E_k$ ) است که به شکل رابطه (9) تعریف می‌شود [20]. با اعمال روابط (8,7) در رابطه (9) مقادیر سرعت موج در جهت x و z ( $w$ ,  $u$ ,  $v$ ) محاسبه می‌شود و سپس مقادیر انرژی پتانسیل و انرژی جنبشی موج بر حسب عمق مؤثر موج بر بویه ( $h$ ) و طول موج ( $\lambda$ ) به دست آمده است.

$$E_w = E_p + E_k = \frac{1}{2} \rho g \int_0^\lambda \eta^2 dx + \frac{\rho}{2} \int_0^\lambda \int_{-h}^0 [u^2 + v^2] dz dx, \quad u = \frac{\partial \phi}{\partial x}, \quad v = \frac{\partial \phi}{\partial z} \quad (9)$$

در رابطه (9) پارامتر  $E_w$  انرژی موج در واحد عرض موج بر حسب رُول بر متر است. پارامتر  $h$  به عنوان عمق مؤثر موج بر بویه برابر با عمق غوطه‌وری بویه جاذب انرژی موج در نظر گرفته شده که برای بویه مخروطی برابر با 3m و برای بویه کپ کروی 2m است ( $h = h_B$ ).

انرژی مؤثر موج بر هر بویه مهارشده ( $E_w^B$ ) وابسته به مساحت مؤثر موج بر بویه ( $A_w^B$ ) و انرژی موج در مساحت واحد ( $E_w^1$ ) است که به صورت رابطه (10) تعریف می‌شود. با تعیین مقادیر انرژی مؤثر موج بر هر بویه به کمک روابط (10-7) می‌توان درصد جذب انرژی و یا نسبت انرژی جذب شده از موج به انرژی مؤثر موج برخورده بر مدل ( $E_A/E_w^B$ ) را بدست آورد.

$$E_w^B = E_w^1 \times A_w^B \quad (1), \quad E_w^1 = \frac{E_w}{\lambda} \left( \frac{J}{m^2} \right), \quad A_w^B = \pi r_B^2 \left( m^2 \right) \quad (10)$$

#### 9- انرژی استحصالی از موج

انرژی استحصالی از موج با توجه به شبیه‌سازی عملکرد مدل جاذب نقطه‌ای (شکل 2)، وابسته به سرعت حرکت بویه در جهت z (هیو) و تغییرات طول کابل مهاری در هر بازه زمانی است. مقادیر انرژی استحصالی توسط دو مدل مهارشده در جدول 3 بیان شده است و شکل 11 نسبت انرژی استحصالی از موج توسط دو مدل مهارشده به انرژی مؤثر موج برخورده بر هر مدل ( $E_A/E_w^B$ ) را نشان می‌دهد.

آنالیز نتایج نشان می‌دهد که به طور متوسط در هر پریود موج دو مدل مهارشده با بویه مخروطی و کپ کروی به ترتیب 22.49% تا 24.95% از انرژی مؤثر موج را جذب می‌کند. مدل مهارشده با بویه کپ کروی به طور متوسط حدود 2.5% بیشتر انرژی جذب کرده و حداکثر این اختلاف حدود 3.71% است (حوزه زمان).

#### 10- دینامیک مدل مهارشده (در حوزه فرکانس)

بعد از دیدگیری فرضیات مدل سازی در این مرحله از محاسبات با آنالیز در حوزه زمان یکسان در نظر گرفته شده است. جهت آنالیز حوزه فرکانس دامنه امواج 1m و فرکانس آن‌ها در محدوده 0.7 rad/s تا 2 rad/s فرض شده است. عملگر دامنه پاسخ هیو برای بویه مهارشده (RAO) برای بویه مهارشده در هیو در شکل 12 نشان داده شده است. حداکثر این مقدار برای مخروط 0.8295m و برای کپ کروی

جدول 4 درصد متوسط و حداکثر انرژی جذب شده توسط دو مدل مهارشده با بوبه مخروطی و بوبه کپ کروی (در حوزه فرکانس)

Table 4 The ratio of the maximum and average absorbed energy to the effective energy of wave by each model

متوسط % نسبت $E_A/E_w^B$	حداکثر % نسبت $E_A/E_w^B$	هندسه بوبه
20.50%	31.04%	بوبه مخروطی
22.71%	34.16%	بوبه کپ کروی

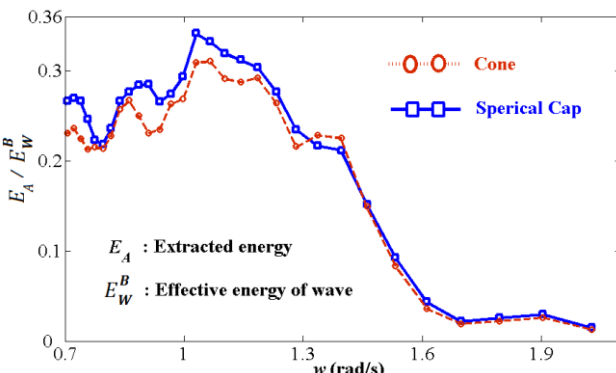


Fig. 15 The ratio of absorbed energy to the effective energy of wave on each moored buoy (in the frequency domain)

شکل 15 نسبت انرژی استحصالی از موج به انرژی مؤثر موج بر هر بوبه مهارشده (در حوزه فرکانس)

فرکانس به طور متوسط مدل مهارشده با بوبه مخروطی در جذب انرژی موج موفق تر و حداکثر نسبت مدل مهارشده با بوبه کپ کروی حدود 2.21% بود. نسبت مدل مهارشده با بوبه کپ کروی حدود 3.12% است.

### 11- نتیجه گیری

راندمان در مدل های تک بدنه جاذب نقطه ای انرژی موج به عملکرد دینامیکی بوبه و سیستم ژنراتور خطی آنها وابسته است. مقایسه عملکرد دینامیکی دو بوبه با هندسه مخروطی و کپ کروی (نیم کره ناقص) در امواج منظم-غیرخطی و تأثیر دینامیک آنها بر راندمان مدل تک بدنه به عنوان مسئله این تحقیق مورد نظر بوده است.

در تحقیق حاضر فرآیند جذب انرژی موج در یک مدل جاذب نقطه ای به یک سیستم فنر-میراگر خطی شبیه سازی شده و دو هندسه برای بوبه آن در نظر گرفته شده است. جرم بوبه ها و سطح تلاقی آنها با آب یکسان در نظر گرفته شده و انرژی مؤثر موج بر هر مدل مدل سازی شده با توجه به مشخصات هندسی بوبه آن محاسبه شده است. یکسان سازی شرایط محیطی و مدل سازی مورد بحث قرار گرفته است.

پاسخ هیو و سرج مدل مهارشده به امواج غیرخطی (استوکس مرتبه دوم) و نیز سرعت هیو آن در حوزه زمان و فرکانس به دست آمده است، سپس تغییر طول کابل مهاری در هر بازه زمانی و انرژی مؤثر موج بر هر مدل محاسبه شده است. نتایج مهم حاصل از تحقیق به شرح زیر است.

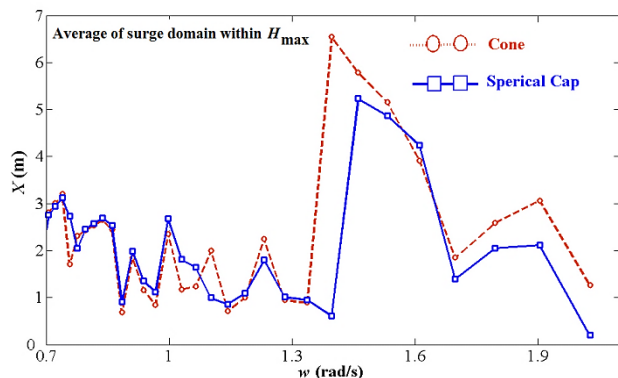
1- یک روش پیشنهاد شده است تا خطای مقایسه هیدرودینامیک بوبه ها با یکدیگر و بررسی تأثیر دینامیک آنها بر راندمان مدل سازی شده، کاهش یابد و شرایط مقایسه یکسان شود.

2- یکسان سازی شرایط محیطی، مدل سازی و مشخصات فیزیکی بوبه ها، جهت مقایسه دینامیک آنها در برخورد با موج، تفاوت مهم بین پژوهش های مشابه بیان شده و پژوهش حاضر است.

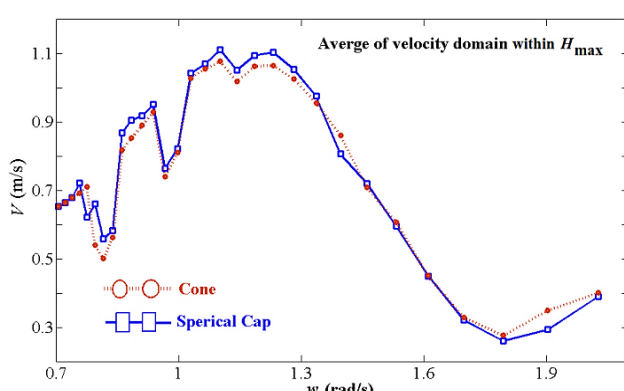
مقادیر دامنه حرکت سرج برای بوبه مخروطی مهارشده و بوبه کپ کروی در شکل 13 نشان داده شده (در محدوده زمانی که حداکثر دامنه هیو رخ داده است) و مقادیر مشابه برای سرعت هیو نیز در شکل 14 نشان داده شده است. دو روش دیگر برای محاسبه انرژی استحصالی از موج در حوزه فرکانس برای پژوهش های آینده پیشنهاد می شود. روش نخست استفاده از متوسط دامنه حرکت هیو و سرج بوبه در هر موج است که به این روش متوسط انرژی استحصالی در هر پریود موج محاسبه می گردد. روش دوم پیشنهادی محاسبه انرژی استحصالی توسط هر بوبه مهارشده در محدوده رخ داد حداکثر دامنه حرکت سرج بوبه است. بدان معنا که ملاک زمان رخ داد حداکثر دامنه حرکت سرج برای بوبه مهارشده باشد.

مقادیر نسبت  $E_A/E_w^B$  بیانگر نسبت انرژی استحصال شده از موج (متوسط دو مدل مهارشده) به انرژی مؤثر موج برخورده به هر مدل است. مقادیر این نسبت در حوزه فرکانس در شکل 15 نشان داده شده است. این نسبت مقادیر درصد انرژی جذب شده توسط مدل مهارشده با بوبه مخروطی و بوبه کپ کروی را در فرکانس های مختلف موج بیان می کند.

انرژی استحصالی از موج ( $E_A$ ) براساس رابطه (3) محاسبه شده و انرژی مؤثر موج بر هر بوبه ( $E_w^B$ ) در فرکانس های مختلف براساس روابط (10-7) به دست آمده است. مقادیر متوسط و حداکثر درصد جذب انرژی موج توسط دو بوبه مهارشده در جدول 4 ارائه شده است. در مجموع آنالیز نتایج در حوزه



شکل 13 دامنه متوسط حرکت سرج در محدوده زمان رخ داد حداکثر دامنه هیو برای دو بوبه مهارشده



شکل 14 دامنه متوسط سرعت هیو در محدوده زمان رخ داد حداکثر دامنه حرکت هیو برای دو بوبه مهارشده (حوزه فرکانس)

- [9] C. C. Mei, Power extraction from water waves, *Ship Research*, Vol. 20, No. 2, pp. 63-66, 1976.
- [10] P. C. Vicente, A. F. D. Falcão, Nonlinear dynamics of a tightly moored point-absorber wave energy converter, *Ocean Engineering*, Vol. 59, pp. 20-36, 2013.
- [11] S. Fortum, *Technology of Seabased Wave Energy*, Accessed on 5 October 2016; <http://www.seabased.com/en/technology/seabased-wave-energy>.
- [12] M. Negahdari, H. Dalayeli, M. Moghaddas, Modeling and analysis point absorber for buoy wave energy converter using heave motion, *Marine Technology*, Vol. 2, No. 2, pp. 42-53, 2015. (in Persian)
- [13] W. Finnegan, M. Meere, J. Goggins, The wave excitation forces on a truncated vertical cylinder in water of infinite depth, *Fluids and Structures*, Vol. 40, pp. 201-213, 2013.
- [14] A. Abbasnia, M. Ghiasi, A fully nonlinear wave interaction with an array of submerged cylinders by NURBS numerical wave tank and acceleration potential, *Ships and Offshore Structures*, Vol. 9, No. 4, pp. 404-417, 2014.
- [15] R. A. Watai, F. Ruggeri, C. M. P. Sampaio, A. Simos, Development of a time domain boundary element method for numerical analysis of floating bodies, *the Brazilian Society of Mechanical Sciences and Engineering*, Vol. 37, No. 5, pp. 1569-1589, 2015.
- [16] L. Johanning, G. H. Smith, J. Wolfram, Measurements of static and dynamic mooring line damping and their importance for floating WEC devices, *Ocean Engineering*, Vol. 34, No. 14, pp. 1918-1934, 2007.
- [17] A. F. D. Falcão, P. C. Vicente, L. M. Gato, A. P. Justino, Dynamics of arrays of floating point-absorber wave energy converters with inter-body and bottom slack-mooring connections, *Applied Ocean Research*, Vol. 31, No. 4, pp. 267-281, 2009.
- [18] R. Maximilian, M. Magaña, O. Sawodny, T. K. Brekken, Power optimisation of a point absorber wave energy converter by means of linear model predictive control, *Renewable Power Generation*, Vol. 8, No. 2, pp. 203-215, 2014.
- [19] A. R. Moghiman, A. Farshidianfar, H. Moeenfar, Experimental and Numerical Study of vibration in submerged structures with multi-degree-of-freedom and comparing the efficiency of wave's energy absorption, *Modares Mechanical Engineering*, Vol. 16, No. 12, pp. 103-113, 2016. (in Persian)
- [20] R. G. Dean, R. A. Dalrymple, *Water Wave Mechanics for Engineers and Scientists*, Vol 2, pp. 93-99, Florida: World Scientific Publishing Co Inc, 2000.
- [21] K. Sadeghi, Significant guidance for design and construction of marine and offshore structures, *GAU Journal of Social & Applied Sciences*, Vol. 4, No. 7, pp. 65-92, 2008.

- سه روش برای محاسبه انرژی استحصالی از موج در حوزه فرکانس پیشنهاد شده است. هر روش یک محدوده انرژی جذب شده را توصیف می کند. براساس این روش ها حداکثر و متوسط انرژی استحصالی از موج در حوزه فرکانس توسط مدل سازی شده قابل محاسبه است.

-4- حداکثر پاسخ دینامیکی بویه مهارشده با هندسه کپکروی در جهت قائم و افق (هیو و سرج) به ترتیب حدود 4.4% و 11.3% بیشتر از مدل دیگر است.

-5- متوسط و حداکثر درصد جذب انرژی موج توسط مدل مدل سازی شده با بویه کپکروی به ترتیب حدود 2.2% و 3.71% در حوزه فرکانس و حدود 2.5% و 3.12% در حوزه زمان بیشتر از مدل دیگر بوده است.

این دو مدل به طور متوسط حدود 20.5% تا 24.95% از انرژی مؤثر موج برخوردی را جذب کرده اند.

## 12- مراجع

- [1] A. Dashtimanesh, A. Esfandiari, F. Roshan, A. R. Kazemipour Esferjani, A. Safarinezhad, Numerical simulation of a near-shore rotating wave energy converter, *Modares Mechanical Engineering*, Vol. 17, No. 1, pp. 75-85, 2017. (in Persian)
- [2] A. F. D. Falcão, Wave energy utilization: A review of the technologies, *Renewable and Sustainable Energy Reviews*, Vol. 14, No. 3, pp. 899-918, 2010.
- [3] Y. Yi-Hsiang, L. Ye, Reynolds-Averaged Navier-Stoke simulation of the heave performance of a two-body floating-point absorber wave energy system, *Computers & Fluids*, Vol. 73, No. 15, pp. 104-114, 2013.
- [4] M. Alves, H. Traylor, A. J. N. A. Sarmento, Hydrodynamic optimization of a wave energy converter using a heave motion buoy, *Proceedings of the 7th European Wave and Tidal Energy Conference*, Porto, Portugal, September 11-13, 2007.
- [5] P. J. B. Beirao, Design and analysis of buoy geometries for a wave energy converter, *Energy and Environmental Engineering*, Vol. 5, No. 2, pp. 1-11, 2014.
- [6] G. D. Backer, M. Vantorre, P. F. Beels, J. D. Rouck, Bottom slamming on heaving point absorber wave energy devices, *Marine Science and Technology*, Vol. 15, No. 4, pp. 119-130, 2010.
- [7] P. Jeremiah, L. Yucheng, Power absorption modeling and optimization of a point absorbing wave energy converter using numerical method, *Energy Resources Technology*, Vol. 136, No. 2, pp. 201-207, 2014.
- [8] K. Budal, J. Falnes, A resonant point absorber of ocean-wave power, *Journal of Nature*, Vol. 918, No. 5517, pp. 478-489, 1975.